

پرولوژی سنگ‌های آتشفشاری ائوسن خاور سندج

حسین عزیزی^{*} و افسین اکبرپور[†]

^۱ دانشگاه کردستان، سندج، ایران.

^۲ سازمان زمین‌شناسی و اکتشافات معدنی کشور، تهران، ایران.

تاریخ دریافت: ۱۳۸۷/۰۵/۱۲ تاریخ پذیرش: ۱۳۸۶/۱۱/۲۷

چکیده

سنگ‌های آتشفشاری با ترکیب عمدتاً آندزیتی در خاور سندج به صورت عدسی‌های پراکنده در داخل رسوباتی که آنها را به ائوسن نسبت داده‌اند رخنمون دارند. مشاهدات صحرایی در بسیاری از بخش‌ها، وضعیت بین چینه‌ای آنها را تأیید می‌کند. بررسی مقاطع نازک این سنگ‌ها نشان می‌دهد که بافت آنها پورفیری، گلومروپورفیری، میکرولیتی و میکرولیتی پورفیری است. شواهد بافتی مانند حضور ادخال‌های فلدوپار، تجزیه فلدوپارها و کانی‌های مافیک به کانی‌های آبدار، آمیخته‌شدن گدازه‌ها بر رسوبات آهکی نرم کف دریا و نیز خرد شدن بسیاری از درشت‌بلورها بر فعالیت آتشفشاری زیر دریایی و سرد شدن سریع این سنگ‌ها بر اثر برخورد با آب دریا دلالت دارد. مطالعات ژئوشیمی نشان می‌دهد که این سنگ‌ها در مقایسه با کندریت‌ها، گوشته اوپلیه و بازلت‌های کف اقیانوسی از عنصری مانند Th, U, Pb, Nb و از Ti غنی‌شدگی و از شدگی نشان می‌دهند. گرچه عواملی مانند هضم سنگ‌های پوسته‌ای، می‌تواند در این تغییرات دخالت داشته باشند، اما به طور معمول چنین تغییراتی را متأثر از مagmaهای منشأ گرفته در بالای زون فروزانش می‌دانند. بنابراین، آتشفشارهایی که در این بخش از ایران، آنها را به ائوسن نسبت داده‌اند، می‌تواند سرنوشتی همانند سنگ‌های آتشفشاری ائوسن در زون ارومیه - دختر داشته باشد.

کلیدواژه‌ها: سندج، ائوسن، آتشفشاری، کلسیمی-قلایی

*نویسنده مسئول: حسین عزیزی

-۱ مقدمه

در این نوشتار سنگ‌های آتشفشاری که آنها را متعلق به ائوسن دانسته‌اند از نظر سنگ‌شناسی مورد بحث قرار می‌گیرد. با این حال، سن این سنگ‌ها هنوز جای بحث دارد. مطالعات انجام شده توسط نگارنده‌گان نشان می‌دهد بین سنگ‌های آتشفشاری که آنها را متعلق به کرتاسه می‌دانند با ائوسن اختلافات زیادی مشاهده می‌شود، برای مثال، مجموعه کرتاسه به سمت بازالت آندزیتی و بازالت و مجموعه آتشفشاری ائوسن به سمت آندزیت گرایش دارند، افرون بر آمفیبولهای سوخته (هورنبلند بازالتی) در مجموعه آتشفشاری ائوسن فراوان و در کرتاسه کمتر است. از طرف دیگر بلورهای درشت کلینوپیر و کسن در مجموعه آتشفشاری کرتاسه فراوان اما در ائوسن وجود ندارند و یا خیلی ناچیز هستند (شکل ۱-۶).

-۲ زمین‌شناسی عمومی

منطقه مورد مطالعه در باخته ایران و در خاور سندج با مساحتی حدود ۹۰۰ کیلومتر مربع بین طول‌های جغرافیایی ۲۷°۰' تا ۴۷°۰' خاوری و عرض جغرافیایی ۱۰°۰' تا ۲۷°۳۵' شمالی قرارداد. روند ارتفاعات برخلاف روند کلی منطقه (شمال باخته-جنوب خاور) شمالی-جنوبی است. این منطقه بر اساس تقسیم‌بندی ساختمانی-رسوبی ایران (Stocklin and Nabavi, 1973) در زون سندج-سیرجان به شمار می‌آید (شکل ۱-a) و براساس تقسیم‌بندی افتخارنژاد (افتخار نژاد، ۱۳۵۹) در زون همدان-ارومیه قرار می‌گیرد.

قدیمی‌ترین سنگ‌ها، متعلق به پالٹوزوئیک (پرمین) در باخته دیواندره گسترش دارند و بیشتر از مرمر با میان‌لایه‌هایی از شیست تشکیل شده‌اند. این سنگ‌ها به شدت چین‌خورده بوده و محور چن‌ها شمال باخته-جنوب خاور است (زاهدی و همکاران، ۱۳۶۴). رسوبات ژوراسیک و کرتاسه، در جنوب باخته و خاور سندج (جنوب دهگلان بویژه در گردنۀ صلووات‌آباد) رخنمون یافته‌اند که شامل آهک‌ماسه‌ای، شیل و آهک‌های متبلور است و در بعضی بخش‌ها با میان‌لایه‌های از سنگ‌های آتشفشاری همراه هستند. سنگ‌های رسوبی و آذرین کرتاسه بیشترین

زون سندج-سیرجان در اصل جزئی از ایران مرکزی است که با اختصاصات ویژه‌ای متمایز می‌شود و به صورت نوار طویل دگرگون شده‌ای در امتداد و به موازات روراندگی زاگرس، از ارومیه و سندج در شمال باخته تا سیرجان و استندقه در جنوب خاوری کشیده شده است (شکل ۱-a). از این نوار با نام‌های مختلفی، مانند زون ارومیه - اسفندقه (Takin, 1977)، زاگرس داخلی، و سرانجام زون سندج - سیرجان (Stocklin, 1968) یاد شده است. ادامه این زون در توروس ترکیه و سوریه هم دیده می‌شود. این بخش از نظر رسوب‌گذاری و بیژگی‌های ساختمانی، مانند ایران مرکزی است، ولی جهت و امتداد کلی آن از امتداد کلی زاگرس پیروی می‌کند، به همین دلیل در مطالعات جدید از آن به عنوان بخشی از نوار کوه‌زایی زاگرس نام برده می‌شود (Alavi, 1994; Blanc et al., 2003; Mohajjel et al., 2003; Alavi, 2004). زون سندج سیرجان به دلیل پیچیدگی ساختاری، ماقماتیسم و دگرگونی، مورد توجه بسیاری از زمین‌شناسان است. در خصوص تکامل این زون فرضیات مختلفی وجود دارد برای مثال (Alavi, 1994) این زون را بخشی از ورقه‌های فلسفی رورانده بین ایران و عربستان می‌داند. سیرجان می‌داند (Ghasemi & Talbot, 2006) و Mohajjel et al. (2003) همانند آنچه که در گذشته فرض شده بود، محل جوش ورقه عربی و ایران را روراندگی زاگرس در نظر گرفته‌اند. افرون بر ساختار، توده‌های گرانیتی این زون، همواره مورد توجه پژوهشگران فراوانی بوده و بیشتر این پژوهشگران گرانیتیویدهای این کمرنگ را زون M دانسته که در حاشیه‌های فعال شکل گرفته‌اند (Sapehi گرو، ۱۳۷۹). در بخش جنوبی زون سندج - سیرجان فعالیت‌های آتشفشاری کرتاسه ناچیز است، اما در بخش شمالی این زون، حجم بسیار وسیعی از آنها از نهادن تا سقز وجود دارد. مطالعات انجام گرفته از تشکیل این سنگ‌ها در حاشیه‌های فعال قاره‌ای دلالت دارد (Azizi & Jahangiri, 2008). در بخش شمالی سندج سیرجان، علاوه بر سنگ‌های آتشفشاری کرتاسه (خاور سندج، گردنۀ صلووات‌آباد) ترم‌های حد واسطه و در بین بیچار و تکاب رسوبات اسیدی می‌وسن (Boccaletti et al., 1978) و سنگ‌های بازانتی کواترنر گسترش قابل توجهی دارند.

پر شده است (شکل ۶). در بین قطعات پومیس شاردهای شیشه‌ای کشیده و پیچ خورده نیز مشاهده می‌شود که توسط کانی‌های ثانوی جایگزین شده‌اند. در بعضی از سنگ‌های آذرآواری، قطعات آهکی دیده می‌شود. به نظر می‌رسد این سنگ‌های آتشفشانی، به داخل حوضه رسوی ریخته و با گل‌های آهکی کف حوضه مخلوط شده باشند.

ترکیب کانی‌شناسی این سنگ‌ها ساده و بیشتر از پلازیوکلاز و فلدسپارهای قلایابی تشکیل شده‌اند. درصد کانی‌های مافیک ناچیز است و بهندرت در خمیره کلینوپیروکسن دیده می‌شود. در بعضی از نمونه‌ها بقایابی از آمفیبیول با حاشیه سوخته نیز مشاهده می‌شود. افزون بر آن در بعضی از نمونه‌ها کانی‌های فرعی مانند اسفن، اکسیدهای آهن و لوکوکسن مشاهده می‌شود. درصد کوارتز در این سنگ‌ها ناچیز است. در بعضی از فلدسپارها رشد دو مرحله‌ای دیده می‌شود. افزون بر این، بعضی از پلازیوکلازها در حاشیه نیز توسط هاله‌ای مشکل از سریست و زوئیت احاطه شده‌اند که می‌تواند نشانه ناپایداری این کانی‌ها باشد (شکل ۷).

۴- ژوئیمی

پس از مطالعات میکروسکوپی، ۱۲ نمونه از سنگ‌های سالم به روش XRF توسط شرکت AMDEL استرالیا تجزیه شد. در این راستا افزون بر عناصر اصلی و فرعی مقدار LOI نیز اندازه‌گیری شد. نتایج حاصل از این تجزیه در جدول ۱ آورده شده است. مقدار SiO_2 این سنگ‌ها از ۵۱ تا ۶۳ درصد وزنی و مقدار Al_2O_3 آنها بجز یک نمونه از ۱۴ تا ۱۸ درصد متغیر است و در بیشتر آنها میزان TiO_2 کمتر از یک درصد است. نمونه‌های مورد مطالعه در نمودار تغییرات عناصر قلایابی در برابر سیلیس (Cox et al., 1979) در قلمرو آندزیت، آندزیت بازالتی و بازالت قرار می‌گیرند (شکل ۸-a). به دلیل این که عناصر قلایابی در طی فرایندهای دگرسانی تحت تأثیر قرار می‌گیرند و ممکن است نام‌گذاری سنگ‌ها بر اساس آنها با خطأ مواجه شود، بنابراین از نمودارهای دیگری که در آنها عناصر کم تحرک مانند Zr , Nb , Ti و Y به کار گرفته شده، برای رده‌بندی استفاده شده است. به طوری که در نمودار Nb/Nb حسب نسبت Zr/TiO_2 سنگ‌های آتشفشانی منطقه در قلمرو بازالت، بازالت قار و آندزیتی و آندزیت قرار می‌گیرند (شکل ۸-b).

سنگ‌های آتشفشانی انسن خاور سنتدج در نمودار قلایابی - سیلیس در قلمرو نیمه‌قلایابی، و در نمودار AFM (Irvine and Baragar, 1971) بیشتر در قلمرو کلسیمی-قلایابی (Pearce and Cann, 1973) Ti-Zr و نمودار سه‌تایی Zr-Ti/100-Sr/2 (Pearce & Cann, 1973) این سنگ‌ها بیشتر در محدوده کلسیمی-قلایابی جای می‌گیرند (شکل ۹-c,d).

ترکیب شیمیایی سنگ‌های آتشفشانی خاور سنتدج با بازالت‌های اقیانوسی نرمال (Sun and McDonough, 1989)، کندریت‌ها (Sun, 1980) و گوشته اولیه (Sun and McDonough, 1989) مقایسه شده‌اند (شکل ۱۰). همان‌گونه که در شکل ۱۰ نشان داده شده است، بی‌هنجاری مثبت U و Pb و بی‌هنجاری منفی Nb در این سنگ‌ها مشهود است. بی‌هنجاری منفی از عناصر Nb و غنی شدگی Ti از عناصر گروه LIL و نسبت پایین Nb/U (شکل ۱۱) و بی‌هنجاری مثبت Th ، U و Pb در این سنگ‌ها نیز حاکی از آن است که بازالت‌ها و آندزیت‌های انسن خاور سنتدج از یک گوه گوشه‌ای سرچشم گرفته‌اند که در ذوب آنها سیال‌های آزاد شده از پوسته اقیانوسی فرورونده دخالت داشته است. مطالعات انجام گرفته به صورت تجربی در خصوص بی‌هنجاری مثبت عناصر ذکر شده با دیگر عناصر دلیلی بر افزایش آنها توسط سیال‌های آزاد شده از پوسته اقیانوسی فرو رانده شده است (Ayers, 1998; Chung et al., 2001).

گسترش را در منطقه سنتدج دارد، به طوری که بخش باخته‌ی چهارگوش سنتدج را می‌پوشانند. مطالعات انجام گرفته در چند سال اخیر نشان می‌دهد که این سنگ‌ها از نوع کلسیمی-قلایابی و به ندرت از نوع توئیتی هستند. در همین راستا، تشکیل این مجموعه را متعلق به حاشیه‌های فعل دانسته‌اند (عزیزی و معین وزیری، ۱۳۸۶؛ معین وزیری، ۱۳۸۷؛ Azizi and Jahangiri, 2008). بین رسوبات کرتاسه و انسن زیرین ناپیوستگی وجود دارد بدین ترتیب که رسوبات انسن به حالت پیشروی با کنگلومراهای قرمز شروع می‌شوند.

سنگ‌های آتشفشانی انسن به صورت عدسی‌های باریک و پراکنده به طول حدود ۴۰ کیلومتر و عرض حدود ۲۰ کیلومتر در راستای شمالی - جنوبی در خاور سنتدج (گردنه صلوات آباد) رخمنون یافته‌اند. جاده سنتدج - همدان که از گردنه صلوات آباد می‌گذرد مسیر مناسبی برای مطالعات زمین‌شناسی این منطقه است (شکل ۱-b). بررسی‌های صحرایی نشان می‌دهد که سنگ‌های آتشفشانی انسن با رسوبات آهکی این دوره به صورت بین‌چینه‌ای قرار دارند و در بعضی مناطق آثار لایه‌بندی در نهشته‌های آذرآواری مشاهده می‌شود (شکل ۲). در پاره‌ای مناطق بیگانه سنگ‌های بزرگی از سنگ‌های آهکی در داخل این سنگ‌های آتشفشانی دیده می‌شود.

۳- سنگ‌نگاری

مطالعات صحرایی نشان می‌دهد که این سنگ‌ها، سه گروه متفاوت هستند. گروه اول، سنگ‌های آتشفشانی خاکستری تا تیره رنگ با ترکیب بازالت و آندزیت هستند که به صورت قطعات زاویه‌دار یا گرد شده در اندازه‌های مختلف در داخل سنگ‌های آتشفشانی سبز رنگ (گروه دوم سنگ‌های آتشفشانی انسن) قرار گرفته‌اند (شکل ۳). این سنگ‌ها در جنوب صلوات آباد رخمنون دارند. گروه دوم سنگ‌های آندزیتی سبز رنگی هستند که حجم بیشتر سنگ‌های آتشفشانی انسن منطقه را به خود اختصاص داده‌اند. این مجموعه خود توسط یک سری دایک‌های سبز و روشن که گروه سوم سنگ‌های آتشفشانی به شمار می‌آیند و ترکیب آندزیتی دارند، قطع شده‌اند. در برخی مناطق در ارتباط با این دایک‌ها، کانی زایی می‌صورت گرفته است.

مطالعات میکروسکوپی نشان می‌دهد که سنگ‌های مورد بحث ترکیبی از بازالت تا داسیت دارند و بیشتر آنها در قلمرو آندزیت قرار می‌گیرند. بافت این سنگ‌ها بیشتر پورفیری است، درصد درشت‌بلورها از ۱۰ تا ۵۰ درصد حجم سنگ تغییر می‌کند. درشت‌بلورها، بیشتر پلازیوکلاز هستند. بعضی از نمونه‌ها که بافت گلومروپورفیری دارند، گلومرول‌ها از بلورهای پلازیوکلاز تشکیل شده‌اند (شکل ۴). خمیره این سنگ‌ها بیشتر از میکرولیت و شیشه تشکیل شده است. افزون بر بافت پورفیری، بافت‌های دیگری مانند میکرولیتی، شیشه‌ای و حفره‌ای نیز مشاهده می‌شود. در بعضی بخش‌ها اجتماع کانی‌های ثانوی ساختار اسفلولیتی نشان می‌دهد که نشانه‌ای از تبلور دوباره خمیره شیشه‌ای سنگ است. پلازیوکلازها که کانی‌های اصلی تشکیل دهنده این سنگ‌ها هستند حالت زونه یا منطقه‌ای دارند (شکل ۵).

فابریک برشی در بیماری از سنگ‌های آتشفشانی این منطقه در مقیاس میکروسکوپی دیده می‌شود. به نظر می‌رسد عامل اصلی این بافت، فعالیت‌های زمین‌ساختنی منطقه پس از جایگزینی باشد. در کنار این مجموعه از بافت‌ها، بافت آمیگدال یا بادامکی یکی از بافت‌های مهم این سنگ‌هاست و آمیگدال‌ها بیشتر از کلیست، زئولیت و کلریت تشکیل شده‌اند. از حالات ثانوی این سنگ‌ها می‌توان به سوسوریتی شدن پلازیوکلازها اشاره کرد که پلازیوکلازها توسط مجموعه‌ای از کانی‌های ثانوی مانند اپیدویت-کلریت و آلیت جایگزین شده‌اند. در داخل بعضی از این سنگ‌ها، قطعات پومیس دیده می‌شود که حفرات آنها توسط کانی‌های ثانوی

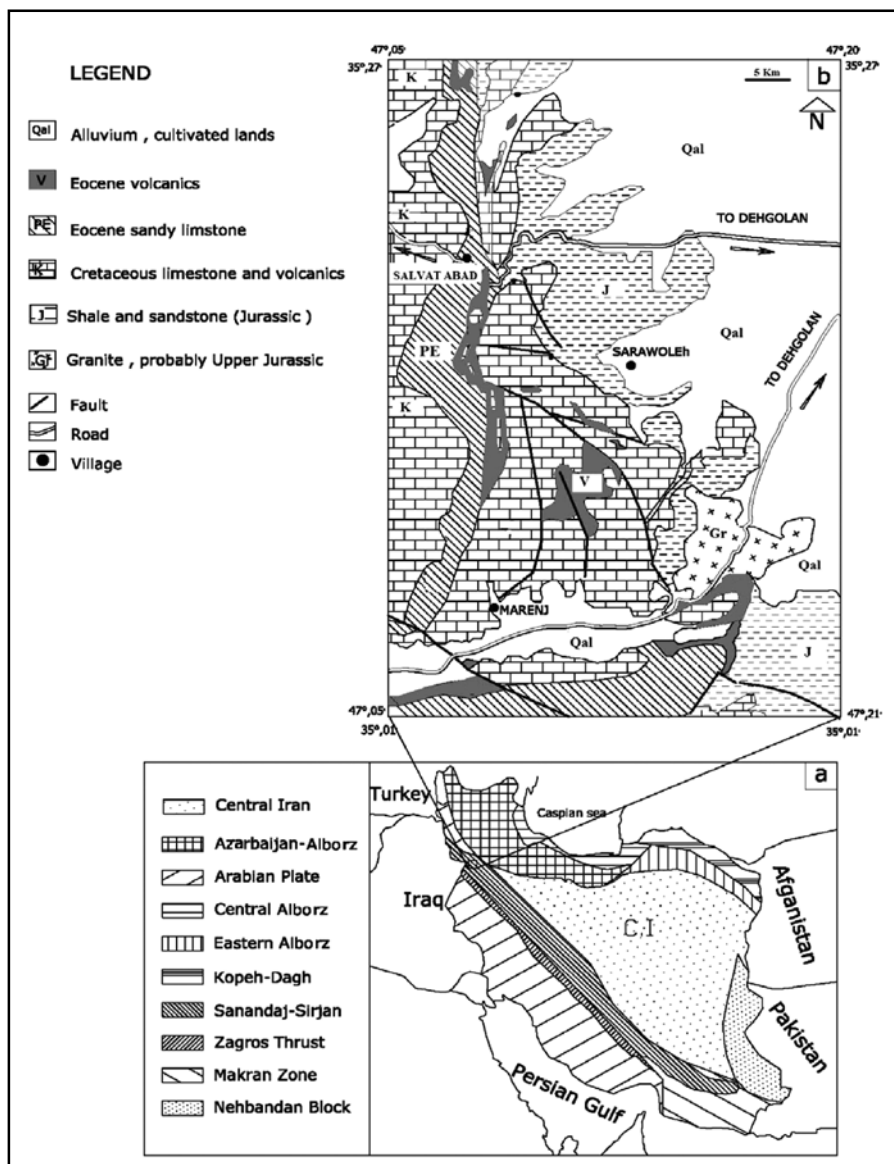
۵- نتیجه‌گیری

زون فروزانش است. نسبت پایین U/Nb این سنگ‌ها نیز حاکی از آن است که مانند ماسه اولیه این بازالت‌ها و آندزیت‌ها از یک گوشه‌ای سرچشمی گرفته که در ذوب آنها سیال‌های آزاد شده از یک صفحه اقیانوسی و آلودگی پوسته دخالت داشته است.

سپاسگزاری

با توجه به این که این مقاله بخشی از طرح تحقیقاتی است که هزینه‌های آن توسط حوزه معاونت پژوهشی دانشگاه کردستان پرداخت شده است مراتب تشکر و قدردانی خود را از آنان اعلام می‌داریم. از استاد ارجمند جناب آقای دکتر معین وزیری که در تمامی مراحل این تحقیق مشوق ما بوده‌اند، تشکر می‌نماییم. از داوران محترم که این مقاله را با دقت و حوصله فراوان مطالعه نموده و نکات بسیار ارزشمندی را یادآور شدند، تشکر می‌نماییم.

شواهد باقی مانند حضور ادخال‌های شیشه در حاشیه و در داخل بسیاری از درشت‌بلورهای فلدسپار، تجزیه فلدسپارها و کانی‌های مافیک به کانی‌های آبدار، آمیخته شدن گذازهای با رسوبات آهکی نرم کف دریا و نیز خردشدن بسیاری از درشت‌بلورها بر فعالیت آتش‌شکنی زیر دریایی و سردشدن سریع این سنگ‌ها بر اثر برخورد با آب دریا دلالت دارد. همچنین فراوانی بیگانه سنگ‌ها و حضور عدسی‌های آهکی به صورت میان‌لایه با توف و گذازهای گواه بر این است که در این منطقه فعالیت آتش‌شکنی در یک محیط آبی کم ژرف انجام گرفته است. مطالعات کانی‌شناسی و بررسی‌های ژئوشیمیایی این سنگ‌ها نشان می‌دهد که ماسه اولیه مولد آنها بیشتر از نوع کلسیمی-قلایی بوده و در حاشیه‌های مغرب شکل گرفته‌اند. بی‌هنجری منفی از عنصر Nb و Ti و غنی‌شدگی از عناصر گروه LIL دلیلی بر نشأت گرفتن ماسه اولیه به وجود آورند. این سنگ‌ها از یک گوشه‌ای غنی شده (نسبت به گوشه مورب) در بالای یک



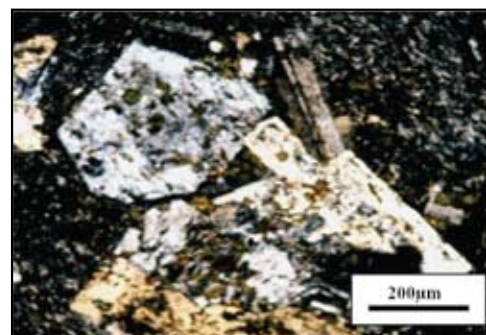
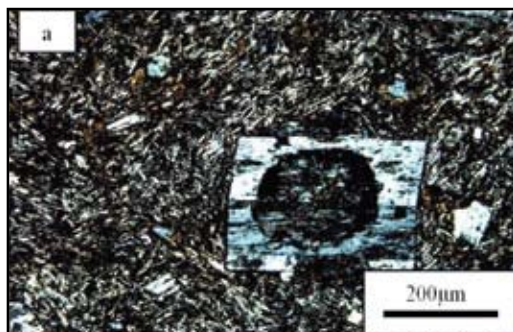
شکل ۱- (a) واحدهای ساختمانی-رسوبی ایران (Stocklin and Nabavi, 1973).

(b) نقشه زمین‌شناسی منطقه مورد مطالعه نقل از زاهدی و همکاران (۱۳۹۴) با کمی تغییرات.

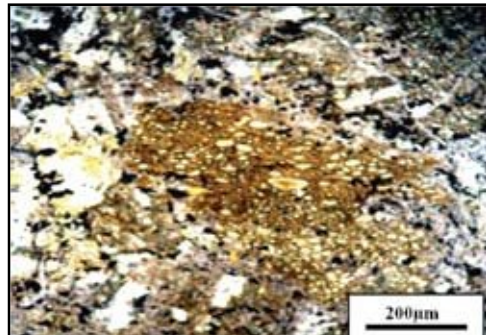
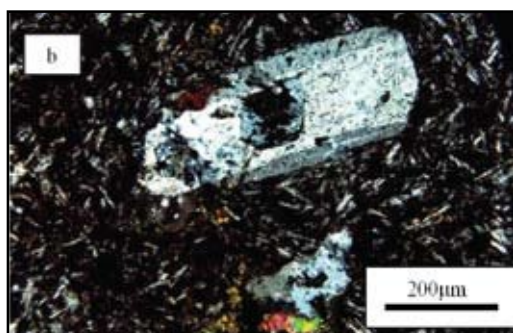


شکل ۳- قطعاتی از آندزیت‌های خاکستری رنگ (گروه اول) به صورت بیگانه‌سنگ در داخل سنگ‌های آتشفشانی گروه دوم.

شکل ۲- حالت بین چینه‌ای سنگ‌های آتشفشانی (در پایین) با آهک‌های انوسن (در بالا) گردنه صلوت‌آباد.

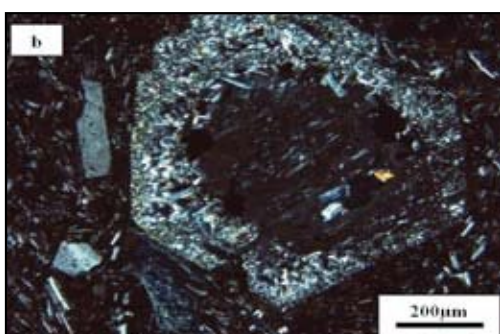
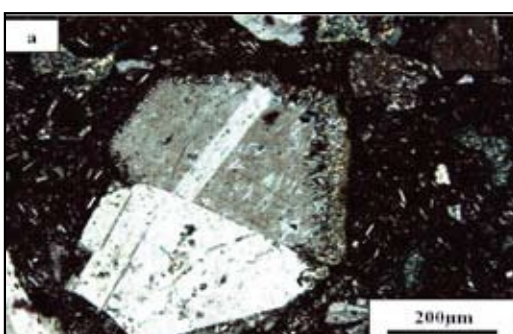


شکل ۴- بافت گلومروپورفیری در آندزیت‌ها. درشت‌بلورهای پلازیوکلاز دارای ادخال‌هایی از شیشه کاربری شده هستند.

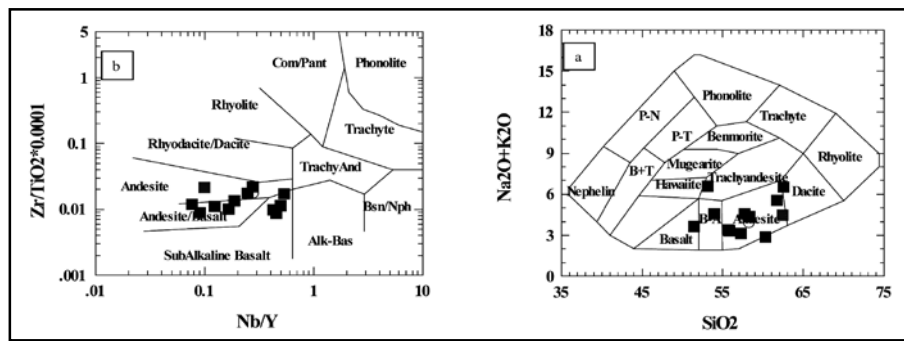


شکل ۵- a و b) هسته گرد شده پلازیوکلاز که توسط حلقه‌ای دیگر از پلازیوکلاز احاطه شده است، نشان از تبلور پلازیوکلاز در دو مرحله دارد.

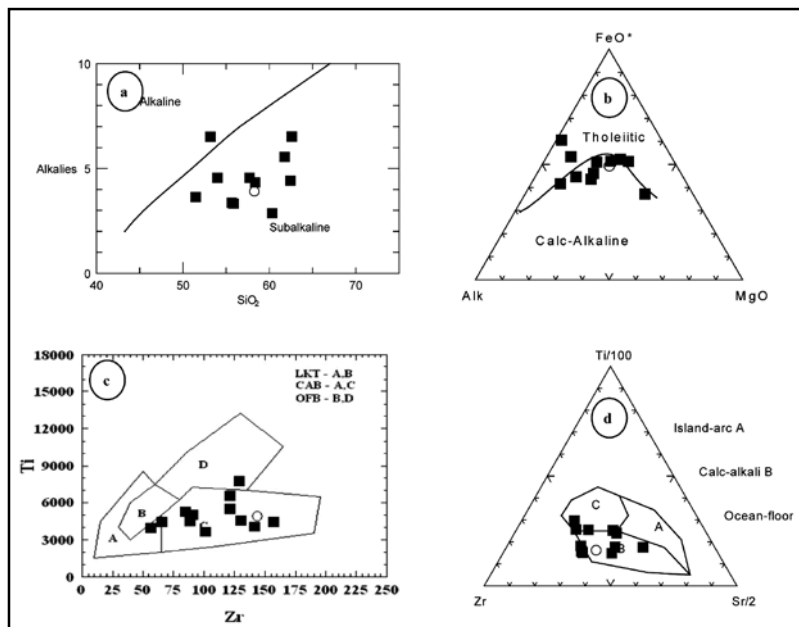
شکل ۶- وجود قطعات پومیس در بعضی از سنگ‌های آتشفشانی آذرآواری منطقه.



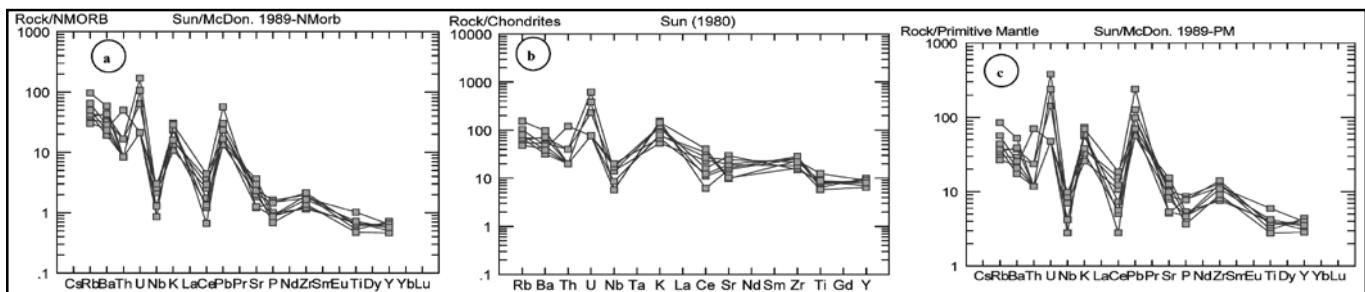
شکل ۷- a و b) رشد سوزنی بلورهای سریسیت و زوئیزیت در اطراف درشت‌بلورهای پلازیوکلاز.



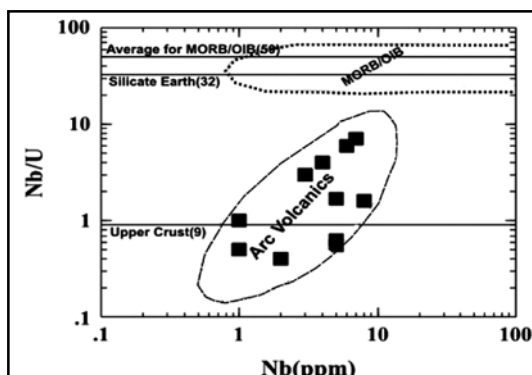
شکل ۸- طبقه‌بندی سنگ‌های آتشفشاری منطقه صلوات آباد. (a) بر اساس تغییرات مجموع $\text{Na}_2\text{O} + \text{K}_2\text{O}$ در برابر SiO_2 و $\text{Zr}/\text{TiO}_2 * 0.0001$ در برابر Nb/Y . در این نمودارها سنگ‌های آتشفشاری منطقه در محدوده آندزیت بازلتی، آندزیت و تراکی آندزیت قرار می‌گیرند. (b) نمونه دایکی و مربوط به بقیه سنگ‌های آتشفشاری منطقه است.



شکل ۹- a - d) پراکنده‌گی سنگ‌های آتشفشاری منطقه را در نمودارهای زمین ساخت-ماگماتی نشان می‌دهند.
 (a) مطابق نمودار قلیابی در برابر درصد وزنی سیلیس در قلمرو نیمه قلیابی. (b) در نمودار (Irvine and Baragar, 1971) AFM در قلمرو کلسیمی-قلیابی، (c) در نمودار Pearce and Can (1973) که تغییرات Ti در برابر Zr نشان می‌دهد و (d) در نمودار مثلثی $\text{Zr}-\text{Ti}/100-\text{Sr}/2$ در قلمرو کلسیمی-قلیابی قرار می‌گیرند. علامت همانند شکل قبل است.



شکل ۱۰- نمونه‌های بازلتی و آندزیتی سنگ‌های آتشفشاری خاور سنتنج بهنجار شده با N-MORB (Sun and McDonough, 1989) و گوشه اولیه (Sun, 1980) کندریت‌ها مشاهده می‌شود که بیانگر تشکیل مagma اولیه این سنگ‌ها در بالای یک زون فرورانش می‌باشد. البته آغشته‌گی پوسته‌ای رانی توان بی تأثیر داشت.



شکل ۱۱- تغییرات نسبت U/Nb بر حسب تغییرات Nb (Hofmann et al., 1986). بر اساس این نمودار سنگ‌های آتشفشنانی انوسن در قلمرو کمان‌های ماگمایی قرار می‌گیرند. نسبت‌های MORB/OIB ترکیب کل پوسته سیلیسی زمین و پوسته قاره‌ای به ترتیب از: Hofmann et al. (1986), McDonough et al. (1992) و Rudnick and Fountain (1995) و McDonough and Sun (1995) انتساب شده است. اعداد داخل پرانتز میانگین U/Nb در محیط‌های متفاوت است.

کتابخانه

- افتخارنژاد، ج.، ۱۳۵۹- تفکیک بخش‌های مختلف ایران از نظر وضع ساختمانی در ارتباط با حوضه‌های رسوی، نشریه انجمن نفت، شماره ۸۲، صفحه ۱۹ الی ۲۸.
زاده‌ی، م.، حاجیان، ج. و بلورچی، ح.، ۱۳۶۴- نقشه زمین‌شناسی چهارگوش سنتندج، ۱:۲۵۰۰۰، سازمان زمین‌شناسی و اکتشافات معدنی کشور.
سپاهی گرو، ع.، ۱۳۷۹- پترولولوژی و پتروگرافی توده‌های گرانیتی الوند همدان. دانشگاه تربیت معلم تهران، ۳۵۰ صفحه.
عزیزی، ح.، معین‌وزیری، ح.، ۱۳۸۶- پترولولوژی و رژیومی و لکانیک‌های کرتاسه سقز بر اساس خاک‌های کمیاب. مجله علوم دانشگاه اصفهان، شماره ۲۷، صفحه ۳۵ الی ۵۷.
عزیزی، ح.، معین‌وزیری، ح.، ۱۳۸۷- پترولولوژی و لکانیک‌های کرتاسه شمال سنتندج، مجله علوم دانشگاه تهران. شماره ۲، صفحه ۲۴-۱۷.

References

- Alavi, M., 1994 - Tectonics of the Zagros Orogenic belt of Iran: new data and interpretations. *Tectonophysics* 220, 211–238.
- Alavi, M., 2004 - Regional stratigraphy of the Zagros fold-thrust belt of Iran and its proforeland evolution. *American Journal of Science* 304, 1–20.
- Ayers, J., 1998- Trace element modeling of aqueous fluid-peridotite interaction in the mantle wedge of subduction zone. *Contrib. Mineral. Petrol.*, 132:390-404.
- Azizi, H. & Jahangiri, A., 2008- Cretaceous subduction-related volcanism in the northern Sanandaj-Sirjan Zone. *Journal of Geodynamics*, 45:178-190.
- Blanc, E. J., Allen, M. B., Inger, S. & Hassani, H., 2003- Structural styles in the Zagros Simple Folded Zone, Iran. *Journal of the Geological Society* 160, 401-412.
- Boccaletti, M., Innocenti, F., Manetti, P., Mazzuoli, R., Motamed, A., Paquare, A., Radicati, de Brozolo, F., Amin Sobhani, E., 1976- Neogene and Quaternary volcanism of the Bijar area (western Iran). *Bull. Volcanology* 40-42, 121-135
- Chung, S. L., Wang, K. I., Crawford, A. J., Kamenetsky, V. S., Chen, C. H., Ian, C. & Chen, C. H., 2001- High-Mg potassic rocks from Taiwan. *Lithos*, 92: 153-170.
- Cox, K. G., Bell, J. D. & Pankhurst, R. J., 1979- The interpretation of igneous rocks. George, Allen and Unwin, London.
- Esmaily, D., Ne'de'lec, A., Valizadeh, M. V., Moore, F., Cotton, J., 2005. Petrology of the Jurassic Shah-Kuh granite (eastern Iran), with reference to tin mineralization. *Journal of Asian Earth Sciences* 25, 961-980.
- Ghasemi, A., Talbot, C. J., 2006- A new tectonic scenario for the Sanandaj-Sirjan Zone (Iran). *Journal of Asian Earth Sciences* 26, 683-693.
- Hofmann, A. W., Jochum, K. P., Seufert, M. & White, W. M., 1986 - Nb and Pb in oceanic basalts: new constraints on mantle evolution. *Earth Planet. Sci. Lett.*, 79: 33-45.
- Irvine, T. N. & Baragar, W. R. A., 1971- A guide to the chemical classification of the common volcanic rocks. *Can. j. Earth Sciences*, 8: 523-548.
- McDonough, W. F. & Sun, S. S., 1995- Composition of the Earth. *Chemical Geology*, 120: 223-253.
- McDonough, W. F., Sun, S. S., Ringwood, A. E., Jagoutz, E. & Hofmann, A. W., 1992- Potassium, rubidium, and cesium in the Earth and Moon and the evolution of the mantle of the Earth. *Geochim. Cosmochim. Acta*, 56:1001-1012.
- Mohajel, M., Fergusson, C. L., Sahandi, M. R., 2003- Cretaceous-Tertiary convergence and continental collision, Sanandaj-Sirjan Zone, western Iran. *Journal of Asian Earth Sciences* 21, 397-412.
- Pearce, J. A. & Cann, J. R., 1973- Tectonic setting of basic volcanic rocks determined using trace elements analysis. *Earth and Planet. Sci. letters*, 19: 290-300.
- Rudnick, R. L. & Fountain, D. M., 1995- Nature and composition of the continental crust: a lower crustal perspective. *Rev. Geophysics*, 32: 267-309.
- Stocklin, J., 1968- Structural history and tectonic of Iran; a review. *American Association of Petroleum Geologists Bulletin* 52, 1229-1258.
- Sotoklin, J. & Nabavi, M. H., 1973- Tectonic map of Iran. *Geology Survey of Iran*.
- Sun, S. S. & McDonough, W. F., 1989- Chemical and isotopic systematic of oceanic basalts: implication for mantle composition and processes. In: Sunds A. D. and Norry M. J. (eds.) magmatic in oceanic basins. *Geol. Soc. London Spec. Pub.*, 42:313-345.
- Sun, S. S., 1980- Lead isotope study of young volcanic rocks from mid-ocean ridges, ocean islands and island arcs. *Hilo. Trans. R. Soc. London, Ser.*, 297:409-445.
- Takin, M., 1972- Iranian geology and continental drift in the Middle East. *Nature* 23, 147-150.

Petrology of Eocene Volcanic Rocks in the East of Sanandaj

H. Azizi^{1*} & A. Akbarpour²

¹University of Kurdistan, Sanandaj, Iran.

² Geological Survey of Iran, Tehran, Iran.

Received: 2008 February 16 Accepted: 2008 July 26

Abstract

Volcanic rocks with mainly andesite composition and lensoid form outcropped in the Eocene sedimentary host rocks in the east of Sanandaj. Field studies confirm that they are intercalation with the sedimentary host rocks. In thin section, those have porphyritic, glomeroporphyric microlithic and microlithic porphyric textures. Some texture evidences such as glassy inclusion in the center of plagioclase phenocrysts, displacement of plagioclase and mafic phenocrysts with mafic hydrate minerals imply amalgamation of volcanic activity with soft sediments in shallow water; also cracking of plagioclase phenocrysts confirms this subject. Geochemical study shows that these rocks are enriched in incompatible elements such as U, Th, Pb and depleted in Nb, and Ti elements compared with chondrites, primitive mantle and NMORB. If crustal contamination can be responsible for these changes, but as usual these anomalies imply the primary magma generated above the subduction zone. This volcanic rock may have a unique origin the same as Urumieh-Dokhtar volcanic belt.

Keywords: Sanandaj, Eocene, Volcanism, Calc-alkaline

For Persian Version see pages 21 to 26

*Corresponding author: H. Azizi; Email: Azizi1345@gmail.com